

УДК 539.375:629.7.02

РАСЧЕТ НАПРЯЖЕННО-ДЕФОРМИРОВАННОГО СОСТОЯНИЯ АНИЗОТРОПНОЙ ПЛАСТИНЫ С ЭЛЛИПТИЧЕСКИМ ОТВЕРСТИЕМ И ТОНКИМИ ЖЕСТКИМИ ВКЛЮЧЕНИЯМИ

В. Н. Максименко, С. А. Зорин

Новосибирский государственный технический университет, 630092 Новосибирск
E-mail: kimt@ngs.ru

Исследуется напряженно-деформированное состояние анизотропной пластины с эллиптическим отверстием, содержащей тонкие абсолютно жесткие криволинейные включения. Строятся общие интегральные представления решения задачи, автоматически удовлетворяющие краевым условиям на контуре эллиптического отверстия и на бесконечности. Неизвестные плотности, входящие в потенциальные представления решения, определяются из граничных условий вдоль линий жестких включений. Задача сводится к системе сингулярных интегральных уравнений, которая решается численно. Исследуется влияние анизотропии материала пластины, степени эллиптичности отверстия, геометрических характеристик жестких включений на концентрацию напряжений в пластине. Проводится сравнение полученных численных результатов с известными аналитическими решениями.

Ключевые слова: анизотропная пластина, тонкие жесткие включения, концентрация напряжений, коэффициент интенсивности напряжений, интегральное уравнение.

Пусть бесконечная прямолинейно-анизотропная пластина толщиной h ослаблена эллиптическим отверстием с контуром $L_0 = \{(x/a)^2 + (y/b)^2 = 1\}$ и системой тонких абсолютно жестких включений, расположенных вдоль незамкнутых гладких кривых L_j ($j = \overline{1, k}$). Кривые не пересекаются и не выходят на контур L_0 . На каждом контуре L_j выбрана нормаль $\mathbf{n}(t)$ ($t \in L_j$), направленная вправо относительно направления движения от точек a_j к точкам b_j (рис. 1). Пластина нагружена внешними усилиями $X_n + iY_n$ на контуре отверстия и усилиями $\sigma_x^\infty, \sigma_y^\infty, \tau_{xy}^\infty$ на бесконечности. Каждое включение может

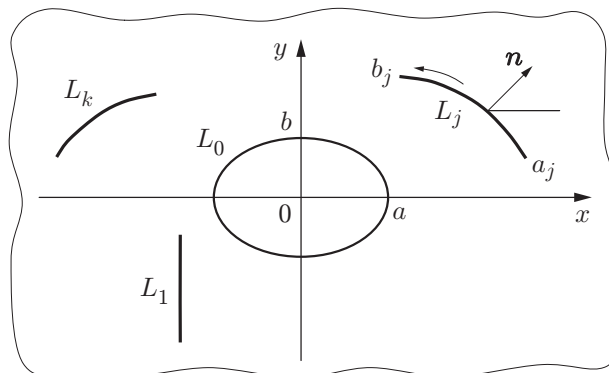


Рис. 1. Бесконечная анизотропная пластина с эллиптическим отверстием L_0 и системой тонких абсолютно жестких включений L_j ($j = \overline{1, k}$)

перемещаться и поворачиваться как жесткое целое:

$$u^\pm(t) + iv^\pm(t) = g_1(t) + ig_2(t) = G(t), \quad t \in L = \bigcup_{j=1}^k L_j, \quad (1)$$

$$G(t) = c_j + i\varepsilon_j t, \quad t \in L_j.$$

Здесь c_j — комплексная константа; ε_j — неизвестный или заданный угол поворота жесткого включения L_j . Знаки “+”, “-” соответствуют левому и правому берегам включения. Считаем, что пластина находится в обобщенном плоском напряженном состоянии, а вращение на бесконечности равно нулю.

Напряжения в пластине можно выразить через две аналитические функции $\Phi_\nu(z_\nu)$ ($\nu = 1, 2$):

$$(\sigma_x, \tau_{xy}, \sigma_y) = 2 \operatorname{Re} \left(\sum_{\nu=1}^2 (\mu_\nu^2, -\mu_\nu, 1) \Phi_\nu(z_\nu) \right) \quad (2)$$

($z_\nu = x + \mu_\nu y$; μ_ν — корни соответствующего характеристического уравнения с положительными мнимыми частями [1]).

Функции $\Phi_\nu(z_\nu)$ ($\nu = 1, 2$) представим в виде

$$\Phi_\nu(z_\nu) = \sum_{i=1}^2 \Phi_{\nu i}(z_\nu). \quad (3)$$

Здесь $\Phi_{\nu 1}(z_\nu)$ — решение для бесконечной анизотропной пластины с эллиптическим отверстием, нагруженной по контуру отверстия и на бесконечности заданными усилиями [1]; функции $\Phi_{\nu 2}(z_\nu)$ определяют возмущенное напряженное состояние, возникающее из-за наличия жестких включений.

На основе решения задачи о действии сосредоточенной силы во внутренней точке τ бесконечной анизотропной не нагруженной на бесконечности пластины со свободным от внешних усилий эллиптическим отверстием L_0 [1]:

$$\begin{aligned} \Psi_\nu(z_\nu, \tau_\nu) &= \frac{1}{\omega'_\nu(\zeta_\nu)} \left(\frac{A_\nu^*}{\zeta_\nu - \eta_\nu} - \frac{l_\nu \bar{A}_1^*}{\zeta_\nu(1 - \zeta_\nu \bar{\eta}_1)} - \frac{n_\nu \bar{A}_2^*}{\zeta_\nu(1 - \zeta_\nu \bar{\eta}_2)} \right), \\ z_\nu = \omega_\nu(\zeta_\nu) &= \frac{a - i\mu_\nu b}{2} \zeta_\nu + \frac{a + i\mu_\nu b}{2} \zeta_\nu^{-1}, \quad |\zeta_\nu| > 1, \\ \zeta_\nu = \zeta_\nu(z_\nu) &= \frac{z_\nu + \sqrt{z_\nu^2 - (a^2 + \mu_\nu^2 b^2)}}{a - i\mu_\nu b}, \quad \zeta_\nu(\infty) = \infty, \\ \eta_\nu = \zeta_\nu(\tau_\nu) &= \frac{\tau_\nu + \sqrt{\tau_\nu^2 - (a^2 + \mu_\nu^2 b^2)}}{a - i\mu_\nu b}, \quad \tau_\nu = \operatorname{Re} \tau + \mu_\nu \operatorname{Im} \tau, \\ l_\nu &= \frac{\mu_{3-\nu} - \bar{\mu}_1}{\mu_\nu - \mu_{3-\nu}}, \quad n_\nu = \frac{\mu_{3-\nu} - \bar{\mu}_2}{\mu_\nu - \mu_{3-\nu}} \quad (\nu = 1, 2) \end{aligned}$$

(коэффициенты A_ν^* зависят от величины и направления сосредоточенной силы [1]), используя принцип суперпозиции [2], функции $\Phi_{\nu 2}(z_\nu)$ будем искать в виде

$$\begin{aligned}\Phi_{\nu 2}(z_{\nu}) &= \frac{1}{\omega'_{\nu}(\zeta_{\nu})} \int_L \left(\frac{A_{\nu}^*(\tau)}{\zeta_{\nu} - \eta_{\nu}} - \frac{l_{\nu} \overline{A_1^*(\tau)}}{\zeta_{\nu}(1 - \zeta_{\nu} \bar{\eta}_1)} - \frac{n_{\nu} \overline{A_2^*(\tau)}}{\zeta_{\nu}(1 - \zeta_{\nu} \bar{\eta}_2)} \right) ds = \\ &= \frac{1}{2\pi i \omega'_{\nu}(\zeta_{\nu})} \int_L \left(\frac{\Omega_{\nu}(\tau)}{\eta_{\nu} - \zeta_{\nu}} d\tau_{\nu} - \frac{l_{\nu} \overline{\Omega_1(\tau)}}{\zeta_{\nu}(1 - \zeta_{\nu} \bar{\eta}_1)} d\bar{\tau}_1 - \frac{n_{\nu} \overline{\Omega_2(\tau)}}{\zeta_{\nu}(1 - \zeta_{\nu} \bar{\eta}_2)} d\bar{\tau}_2 \right), \quad (4)\end{aligned}$$

$$\Omega_{\nu}(\tau) = -2\pi i A_{\nu}^*(\tau) / M_{\nu}(\tau), \quad M_{\nu}(\tau) = \mu_{\nu} \cos \psi(\tau) - \sin \psi(\tau).$$

Здесь $\Omega_{\nu}(\tau) = \{\Omega_{\nu j}(\tau): \tau \in L_j, j = \overline{1, k}\}$ — неизвестные комплексные функции на контурах L_j ; $\psi = \psi(\tau) = \{\psi_j(\tau): \tau \in L_j, j = \overline{1, k}\}$ — угол между нормалью \mathbf{n} к левому берегу жесткого включения L_j и осью x ; $d\tau_{\nu} = M_{\nu}(\tau) ds$; ds — элемент дуги L .

Построенные таким образом функции $\Phi_{\nu 2}(z_{\nu})$ автоматически удовлетворяют условиям $X_n = Y_n = 0$ на контуре отверстия L_0 и затухают на бесконечности. Следовательно, выбор функций $\Phi_{\nu}(z_{\nu})$ в виде (3) обеспечивает выполнение краевых условий на контуре отверстия L_0 и на бесконечности.

Продифференцировав выражение (1) по длине дуги, получим граничное условие в виде [3]

$$A(t)\Phi_1^{\pm}(t_1) + B(t)\overline{\Phi_1^{\pm}(t_1)} + \Phi_2^{\pm}(t_2) = W^{\pm}(t), \quad t \in L, \quad (5)$$

где

$$\begin{aligned}W^{\pm}(t) &= \frac{\bar{p}_2 dg_2(t)/ds - \bar{q}_2 dg_1(t)/ds}{(\bar{p}_2 q_2 - p_2 \bar{q}_2) M_2(t)}, \quad A(t) = A_0 \frac{M_1(t)}{M_2(t)}, \quad B(t) = B_0 \frac{\overline{M_1(t)}}{M_2(t)}, \\ A_0 &= \frac{\bar{p}_2 q_1 - p_1 \bar{q}_2}{\bar{p}_2 q_2 - p_2 \bar{q}_2}, \quad B_0 = \frac{\bar{p}_2 \bar{q}_1 - \bar{p}_1 \bar{q}_2}{\bar{p}_2 q_2 - p_2 \bar{q}_2}, \\ p_{\nu} &= a_{11} \mu_{\nu}^2 - a_{16} \mu_{\nu} + a_{12}, \quad q_{\nu} = a_{12} \mu_{\nu} + a_{22} \mu_{\nu}^{-1} - a_{26},\end{aligned}$$

$\Phi_{\nu}^{\pm}(t_{\nu})$ — граничные значения функций $\Phi_{\nu}(z_{\nu})$ на контуре L ; a_{ij} — коэффициенты деформаций материала анизотропной пластины [1].

Подставляя предельные значения функций $\Phi_{\nu}(z_{\nu})$ из (3), (4) в краевые условия на жестких включениях L_j (5), после некоторых преобразований получим

$$\int_L \frac{\Omega_1(\tau)}{\eta_1 - \zeta_1} d\tau_1 + \int_L [K_{11}(t, \tau) \Omega_1(\tau) + K_{12}(t, \tau) \overline{\Omega_1(\tau)}] ds = f^*(t), \quad t \in L = \bigcup_{j=1}^k L_j. \quad (6)$$

Здесь

$$\begin{aligned}K_{11}(t, \tau) ds &= \frac{\omega'_1(\zeta_1)}{2B(t)} \left[\frac{\overline{B(\tau)} - \overline{B(t)}}{\omega'_2(\zeta_2) (\bar{\eta}_2 - \bar{\zeta}_2)} d\bar{\tau}_2 + \overline{B(t)} \left(\frac{\omega'_2(\eta_2) - \omega'_2(\zeta_2)}{\omega'_2(\zeta_2) (\bar{\eta}_2 - \bar{\zeta}_2)} d\bar{\eta}_2 - \right. \right. \\ &- \left. \frac{\omega'_1(\eta_1) - \omega'_1(\zeta_1)}{\omega'_1(\zeta_1) (\eta_1 - \zeta_1)} d\eta_1 + d \ln \frac{\bar{\eta}_2 - \bar{\zeta}_2}{\eta_1 - \zeta_1} \right) - \frac{\overline{A(t)}}{\omega'_1(\zeta_1) \bar{\zeta}_1} \left(\frac{\bar{n}_1 A(\tau)}{1 - \bar{\zeta}_1 \eta_2} d\tau_2 - \frac{\bar{l}_1}{1 - \bar{\zeta}_1 \eta_1} d\tau_1 \right) + \\ &\left. + \frac{n_1 \overline{B(\tau)} \overline{B(t)}}{\omega'_1(\zeta_1) \zeta_1 (1 - \zeta_1 \bar{\eta}_2)} d\bar{\tau}_2 - \frac{1}{\omega'_2(\zeta_2) \bar{\zeta}_2} \left(\frac{\bar{n}_2 A(\tau)}{1 - \bar{\zeta}_2 \eta_2} d\tau_2 - \frac{\bar{l}_2}{1 - \bar{\zeta}_2 \eta_1} d\tau_1 \right) \right],\end{aligned}$$

$$K_{12}(t, \tau) ds = \frac{\omega'_1(\zeta_1)}{2B(t)} \left[\frac{\overline{A(\tau)} - \overline{A(t)}}{\overline{\omega'_2(\zeta_2)(\bar{\eta}_2 - \bar{\zeta}_2)}} d\bar{\tau}_2 - \overline{A(t)} \left(\frac{\overline{\omega'_1(\eta_1)} - \overline{\omega'_1(\zeta_1)}}{\overline{\omega'_1(\zeta_1)(\bar{\eta}_1 - \bar{\zeta}_1)}} d\bar{\eta}_1 - \right. \right. \\ \left. \left. - \frac{\overline{\omega'_2(\eta_2)} - \overline{\omega'_2(\zeta_2)}}{\overline{\omega'_2(\zeta_2)(\bar{\eta}_2 - \bar{\zeta}_2)}} d\bar{\eta}_2 + d \ln \frac{\bar{\eta}_1 - \bar{\zeta}_1}{\bar{\eta}_2 - \bar{\zeta}_2} \right) - \frac{\overline{B(t)}}{\overline{\omega'_1(\zeta_1)\zeta_1}} \left(\frac{l_1}{1 - \zeta_1\bar{\eta}_1} d\tau_1 - \frac{n_1\overline{A(\tau)}}{1 - \zeta_1\bar{\eta}_2} d\bar{\tau}_2 \right) - \right. \\ \left. - B(\tau) d\tau_2 \left(\frac{\bar{n}_1\overline{A(t)}}{\overline{\omega'_1(\zeta_1)\bar{\zeta}_1(1 - \bar{\zeta}_1\eta_2)}} + \frac{\bar{n}_2}{\overline{\omega'_2(\zeta_2)\bar{\zeta}_2(1 - \bar{\zeta}_2\eta_2)}} \right) \right], \\ f^*(t) = \frac{\pi i \omega'_1(\zeta_1)}{2B(t)} \{ \overline{W_2(t)} - 2[\overline{A(t)} \overline{\Phi_{11}(t_1)} + \overline{B(t)} \overline{\Phi_{11}(t_1)} + \overline{\Phi_{21}(t_2)}] \},$$

$$W_2(t) = W^+(t) + W^-(t).$$

Согласно допущениям относительно гладкости L_j ($j = \overline{1, k}$) функции $K_{11}(t, \tau)$, $K_{12}(t, \tau)$, $f^*(t)$ непрерывны.

К сингулярному интегральному уравнению (6) необходимо добавить уравнения

$$\int_{L_j} \Omega_1(\tau) d\tau_1 = 0 \quad (j = \overline{1, k}), \quad (7)$$

представляющие собой условия равенства нулю главного вектора всех сил, действующих на каждое жесткое включение.

Для определения неизвестных углов поворота ε_j ($j = \overline{1, k}$) к системе (6), (7) нужно добавить условия равенства нулю главного момента всех сил, действующих на каждое жесткое включение. Эти условия имеют вид [3]

$$2 \operatorname{Re} \left(\int_{L_j} (\tau_1 - \tau_2 A_0 - \bar{\tau}_2 \bar{B}_0) \Omega_1(\tau) d\tau_1 \right) = 0 \quad (j = \overline{1, k}). \quad (8)$$

Из сингулярного интегрального уравнения (6) с дополнительными условиями (7), (8) можно получить решение поставленной задачи об определении напряженно-деформированного состояния анизотропной пластины с эллиптическим отверстием и системой тонких абсолютно жестких криволинейных включений.

Решение сингулярного интегрального уравнения (6) будем искать в виде

$$\Omega_1(\tau) = \chi^j(\xi)(1 - \xi^2)^{-1/2}, \quad \tau \in L_j = \{ \tau = \tau^j(\xi) : |\xi| < 1 \}, \quad (9)$$

где $\chi^j(\xi)$ — ограниченные функции, непрерывные по Гельдеру на отрезке $[-1, 1]$. Согласно допущениям относительно гладкости кривых L_j решение уравнения (6) при дополнительных ограничениях (7), (8) в классе функций (9) существует и единственно [4]. С помощью квадратурных формул Гаусса — Чебышева [5] сингулярное интегральное уравнение (6) с дополнительными условиями (7), (8) сводится к системе линейных алгебраических уравнений относительно приближенных значений искомых функций $\chi^j(\xi)$ в чебышевских узлах:

$$\xi_i = \cos \left(\frac{2i - 1}{2N_j} \pi \right) \quad (i = \overline{1, N_j}, \quad j = \overline{1, k})$$

(N_j — количество чебышевских узлов на контуре L_j). Теоретические оценки сходимости данного численного метода приведены в [6].

Решив систему линейных алгебраических уравнений и определив $\chi^j(\xi)$, можно вычислить значения потенциалов $\Phi_\nu(z_\nu)$ и напряжений в пластине по формуле (2) и коэффициенты интенсивности напряжений (КИН) отрыва и сдвига в вершине жесткого включения L_j :

$$K_1(c) = \lim_{t \rightarrow c} \sigma_n \sqrt{2\pi r}, \quad K_2(c) = \lim_{t \rightarrow c} \tau_n \sqrt{2\pi r}. \quad (10)$$

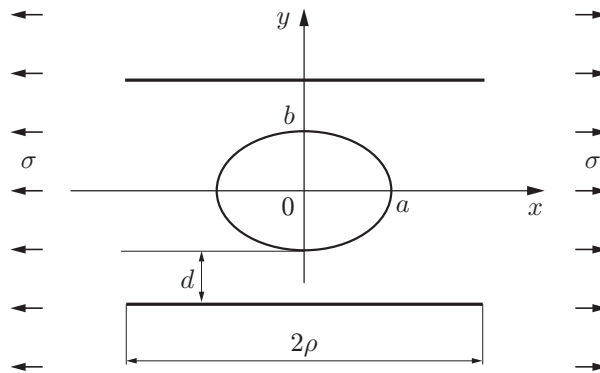


Рис. 2. Бесконечная анизотропная пластина с эллиптическим отверстием L_0 и двумя симметрично расположенными тонкими жесткими включениями при одноосном растяжении

Здесь t — точка, лежащая на продолжении жесткого включения по касательной, проведенной в вершине c ; $r = |t - c|$.

Ниже представлены результаты расчетов для пластины из анизотропного (ортотропного) материала с эллиптическим отверстием и двумя симметрично расположенными тонкими жесткими включениями (рис. 2). При $\varphi = 0$ (φ — угол между главным направлением анизотропии E_1 и осью x) приняты следующие параметры анизотропии материала пластины: $E_1 = 53,84$ ГПа, $E_1/E_2 = 3$, $G_{12} = 8,63$ ГПа, $\nu_1 = 0,25$. Пластина равномерно растягивается вдоль оси x усилиями $\sigma_x^\infty = \sigma$. На рис. 3, 4 представлены зависимости приведенного коэффициента концентрации напряжений K^* ($K^* = \sigma_x(0, b)/\sigma_x^0(0, b)$; $\sigma_x(0, b)$, $\sigma_x^0(0, b)$ — напряжение σ_x в точке $(0, b)$ эллиптического отверстия при наличии и отсутствии жестких включений соответственно) от относительных длин перемычки d/b

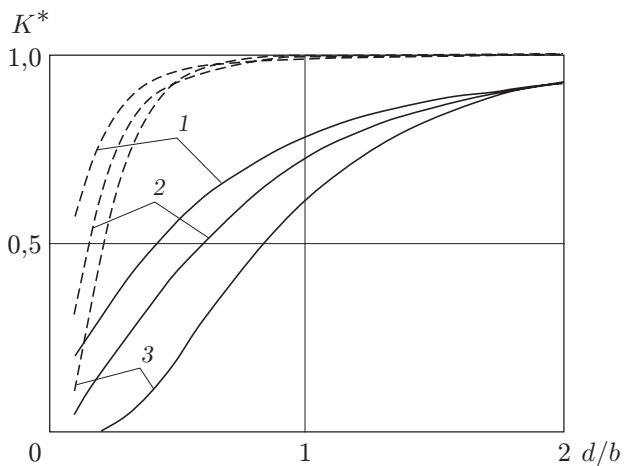


Рис. 3

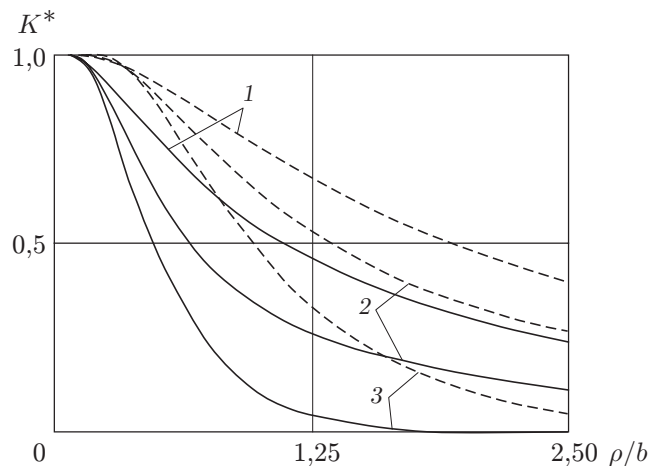


Рис. 4

Рис. 3. Зависимость коэффициента K^* в ортотропной пластине от относительной длины перемычки d/b :

сплошные кривые — $\rho/b = 2$; штриховые — $\rho/b = 0,5$; 1 — $\lambda = 0,001$; 2 — $\lambda = 1$; 3 — $\lambda = 1000$

Рис. 4. Зависимость коэффициента K^* в ортотропной пластине от относительной длины жестких включений ρ/b :

сплошные кривые — $d/b = 0,2$; штриховые — $d/b = 0,4$; 1 — $\lambda = 0,001$; 2 — $\lambda = 1$; 3 — $\lambda = 1000$

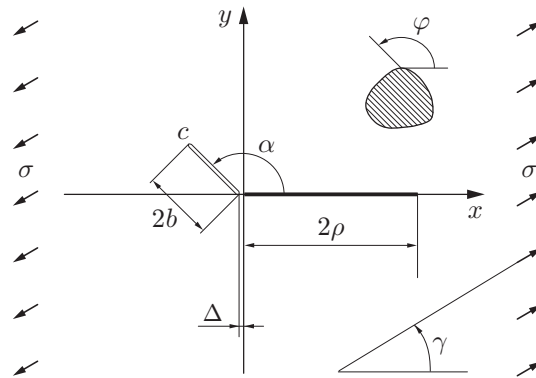


Рис. 5. Бесконечная анизотропная пластина с произвольно ориентированной трещиной, выходящей из конца жесткого линейного включения, расположенного вдоль оси x , при одноосном растяжении

и включения ρ/b при различных значениях параметра эллиптичности отверстия $\lambda = a/b$ в случае ортотропного материала пластины ($E_1/E_2 = 3$) и $\varphi = 0$. При $\lambda = 0,001$ эллиптическое отверстие практически вырождается в прямолинейный разрез. В этом случае результаты расчетов согласуются с полученными в [2] для задачи об анизотропной пластине с разрезами, подкрепленной тонкими упругими ребрами жесткости (если положить относительный параметр жесткости ребер $u^0 = E_1 b h / (E^0 F^0) = 0$, где E^0 , F^0 — модуль Юнга и площадь поперечного сечения ребра). Из рис. 3, 4 следует, что длины жесткого включения и перемычки между отверстием и включением оказывают существенное влияние на концентрацию напряжений в пластине.

Рассмотрим задачу об определении напряженно-деформированного состояния бесконечной анизотропной пластины с произвольно ориентированной трещиной ($\lambda = 0$): $L_0 = \{\tau(\beta) = -\Delta + b(1 - \beta)e^{i\alpha}: -1 < \beta < 1\}$ и жестким прямолинейным включением: $L_1 = \{\tau(\xi) = \rho(1 + \xi): -1 < \xi < 1\}$. На бесконечности пластина подвержена одноосному растяжению усилиями σ под углом γ к оси x (рис. 5). В расчетах принималось $\Delta/b = 0,01$, $\gamma = \pi/4$, $\alpha = \pi$, $\varepsilon_1 = 0$ (Δ — длина перемычки между концами жесткого включения и трещины; ε_1 — угол поворота включения как жесткого целого). Материал пластины близок к изотропному ($E_1/E_2 = 1$, $\mu_1 = 1,004i$, $\mu_2 = 0,996i$). В вершине c ($\beta = -1$) трещины коэффициенты интенсивности напряжений отрыва и сдвига будем вычислять так же, как и для жесткого включения, по формуле (10). В таблице приведены результаты расчетов КИН $K_{1,2}/(\sigma\sqrt{\pi\rho})$ в вершине c трещины при $\rho/b = 10, 10^2, 10^3$ и $N = 50, 100$ (N — количество чебышевских узлов разбиения контура жесткого включения). Для сравнения полученных численных результатов в таблице также приведены точные значения $K_{1,2}/(\sigma\sqrt{\pi\rho})$ в вершине трещины, выходящей из конца жесткого включения ($\Delta = 0$, $\alpha = \pi$) [7]. Из таблицы следует, что при $\rho/b = 10$ погрешность значений КИН, полученных в результате численного решения, составляет доли процента точного значения. В случае $\rho/b = 10^3$ уже при $N = 100$ погрешность не превышает 1 %. Из результатов проведенного сравнения следует, что представленный численный метод можно эффективно применять для решения разномасштабных задач механики разрушения плоских конструктивных элементов.

На рис. 6 представлены зависимости коэффициентов интенсивности напряжений $K_1/(\sigma\sqrt{\pi b})$, $K_2/(\sigma\sqrt{\pi b})$ в вершине c произвольно ориентированной трещины с контуром $L_0 = \{\tau(\beta) = -\Delta + b(1 - \beta)(\cos \alpha + i \sin \alpha): -1 < \beta < 1\}$, расположенной вблизи жесткого включения $L_1 = \{\tau(\xi) = \rho(1 + \xi): -1 < \xi < 1\}$, от угла наклона α . Расчеты выполнялись при $\Delta/b = 0,01$, $\varepsilon_1 = 0$. Материал пластины считался ортотропным ($E_1/E_2 = 3$), $\varphi = \alpha$

ρ/b	$K_1/(\sigma\sqrt{\pi\rho})$			$K_2/(\sigma\sqrt{\pi\rho})$		
	$N_1 = 50$	$N_1 = 100$	Данные [7]	$N_1 = 50$	$N_1 = 100$	Данные [7]
10	0,132 87	0,132 86	0,132 85	0,203 56	0,203 52	0,203 22
10^2	0,015 92	0,015 85	0,015 84	0,116 57	0,116 57	0,116 11
10^3	-0,020 47	-0,021 70	-0,021 87	0,088 07	0,090 32	0,090 07

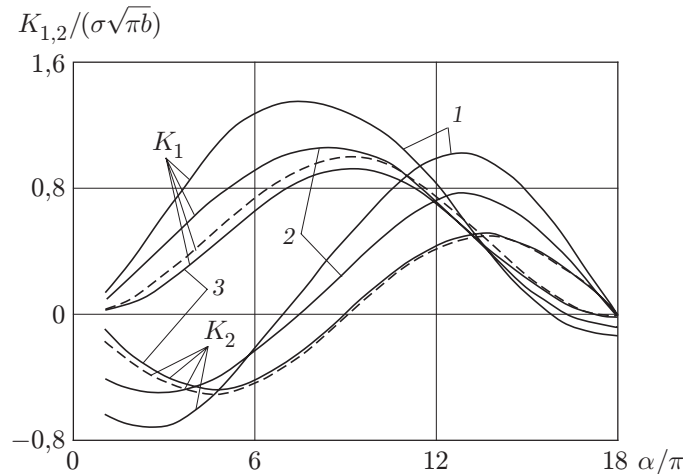


Рис. 6. Зависимости коэффициентов интенсивности напряжений $K_1/(\sigma\sqrt{\pi b})$, $K_2/(\sigma\sqrt{\pi b})$ в вершине s произвольно ориентированной трещины вблизи жесткого включения в ортотропной пластине от угла α при одноосном растяжении: 1 — $\rho/b = 10$; 2 — $\rho/b = 5$; 3 — $\rho/b = 1$; штриховые кривые — $\rho/b = 0,1$

(см. рис. 5). К пластине на бесконечности приложены усилия $\sigma_x^\infty = \sigma$ ($\gamma = 0$). Из рис. 6 следует, что с увеличением длины жесткого включения значения $K_{1,2}/(\sigma\sqrt{\pi b})$ в вершине трещины увеличиваются. Это объясняется тем, что при малых значениях b/ρ трещина находится в сильно возмущенном поле напряжений, обусловленном наличием жесткого включения.

Из приведенных результатов следует, что параметры анизотропии материала пластины, степень эллиптичности отверстия, геометрические характеристики жестких включений оказывают существенное влияние на концентрацию напряжений в пластине. Приведенные в таблице численные результаты расчетов свидетельствуют об эффективности метода граничных интегральных уравнений. Это позволяет применять данный метод для решения разномасштабных задач при расчете напряженно-деформированного состояния и оценке прочности анизотропных пластин с эллиптическим отверстием (трещиной) и тонкими жесткими включениями.

ЛИТЕРАТУРА

1. Савин Г. Н. Распределение напряжений около отверстий. Киев: Наук. думка, 1968.
2. Максименко В. Н. Задача об анизотропной пластине, ослабленной криволинейными трещинами и усиленной ребрами жесткости // ПМТФ. 1982. № 2. С. 163–169.
3. Максименко В. Н., Недогибченко Г. В. Исследование напряженно-деформированного состояния анизотропной полуплоскости, содержащей криволинейные трещины и тонкие жесткие включения, методом интегральных уравнений // Тр. Междунар. науч.-техн. конф. “Научные

основы высоких технологий”, Новосибирск, 29 сент. — 3 окт. 1997 г. Новосибирск: Новосиб. гос. техн. ун-т, 1997. Т. 6. С. 60–61.

4. **Мухелишвили Н. И.** Сингулярные интегральные уравнения. М.: Физматгиз, 1962.
5. **Панасюк В. В.** Распределение напряжений около трещин в пластинах и оболочках / В. В. Панасюк, М. П. Саврук, А. П. Дацьшин. Киев: Наук. думка, 1976.
6. **Белоцерковский С. М.** Численные методы в сингулярных интегральных уравнениях / С. М. Белоцерковский, И. К. Лифанов. М.: Наука, 1985.
7. **Механика** разрушения и прочность материалов: Справ. пособие: В 4 т. / Под общ. ред. В. В. Панасюка. Киев: Наук. думка, 1988. Т. 2.

*Поступила в редакцию 2/IX 2005 г.,
в окончательном варианте — 17/VIII 2006 г.*
